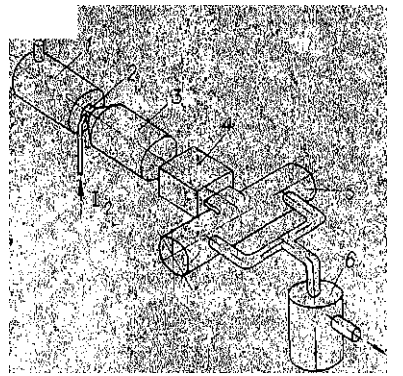
## СВЕЧЕНИ<mark>И</mark> СМЕСИ <mark>Й</mark>₂/Ar, <mark>И</mark>СТЕК<mark>А</mark>ЮЩЕ<mark>Й ИЗ З</mark>АКАЛОЧНОГО <mark>УС</mark>ТР<mark>О</mark>ЙСТВА ПР<mark>И А</mark>ТМОСФЕРНОМ ДА<mark>В</mark>ЛЕНИИ В.Э. Носенко, И.И. Борис<mark>о</mark>в, В. В. На<mark>у</mark>мов, В. <mark>А</mark>. Рейс<mark>ие,</mark> А. В. С<mark>о</mark>ловьев

(Kue<sub>6</sub>)

Одна из возможностей создания инверсной заселенности на электронных переходах молекул связана с использованием реакций радиационной рекомбинации атомов галогенов. Теоретически перспектлвность этоого направления обоснованна (см. например [1, 2]). Предложены методы получения высоких неравновесных атомарных концентраций. Определены критерии усиления света и т.д. Однако экспериментальные данные по рекомбинационному излучению в условиях, благоприятных для генерации, к настоящему времени отсутсвуют. Поэтому любая информация об излучательных свойствах галогенов, позволяющая судить о механизмах заселения электронно-возбужденных состояний в различных условиях, представляет несомненный интерес.

Авторы работы [6] при воздействии на пары йода мощного импульса второй гармоники неодимового лазера наблюдали «медленную» (время затухания  $\sim 10^{-4}$  с) В $\rightarrow$ X люминесценцию в области 550-750 нм рекомбинационного происхождения, тоже вызванную наличием в облученной среде метастабильных (радиационное время жизни  $0,17 \pm 0,04$  с) атомов [\* ( $^2P_{1/2}$ )]. Хемилюминесценция йода изучалась и в проточной электроразрядной системе [7], где спектр излучения наблюдался в ближней ИК-области с максимумом интенсивности вблизи 1,3 мкм, что объяснялось фоторекомбинацией двух невозбужденных атомов Й ( $^2P_{3/2}$ ). через состояние молекулы  $^{1}$ 2 А $^2$   $^{1}$ 1  $^{1}$ 1.

Упомянутые исследования проводились в основном при невысоких температурах и общем давлении среды, не превышающем  $10^4$  Па. Настоящая работа проведена с целью получения рекомбинационного излучения молекулярного йода в высокотемпературном потоке при атмосферном давлении.



Эксперименты выполнялись на плазмодинамическом стенде (рис.1), включающем плазмотрон 1, систему подачи йода 2, смесительную камеру 3, заключенное устройство 4, оптический канал 5 и выхлопную систему с утилизатором 6. Стенд оборудован комплексом спектральной и диагност<mark>и</mark>ческой аппаратур<mark>ы.</mark>

Использовался однокамерный плазмотрон с вихревой стабилизацией дуги. Вольфрамовый катод впрессован в медный катододержатель, ано<mark>д-</mark> медный. Опыты проводились в диапазоне изменения тока 150- 250 А, напряжения 40-50 В при расходе плазмообразующего газа аргона 2-3 10<sup>-3</sup>кг/с (использовался аргон технической

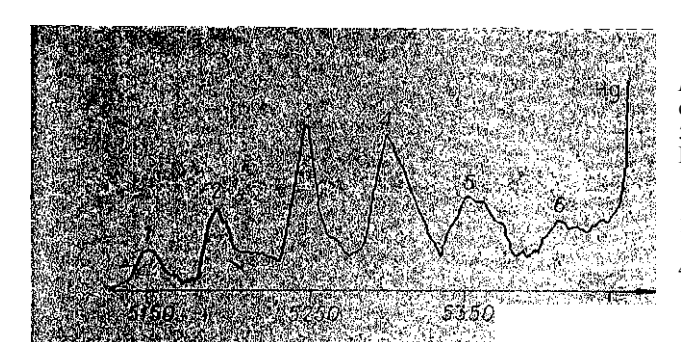
Рис I Схема экспериментальной чистого кристаллического порошка с чистоты – 99,99%). Йод подавался в виде помощью шнекового механизма, применялась

также возгонка йода с помощью электрообогреваемой стальной ампулы. Массовый расход йода варьировался в пределах 1-5% от расхода аргона. Смесительная <mark>к</mark>амера обеспечила условия для полной диссоциации <mark>п</mark>рисадки йода и установления термодинамического равновесия (время пребывания газа  $\sim 10^2$  c). Температура смеси на выходе из варьивалась в пределах 1300-1600 К при давлении 1,4ч1,6 ·105 Па, концентрация атомов йода в зависимости от расхода присадки составляла 0,2ч1.2<sup>17</sup> см-(степень диссоциации 99-97%) концентрация аргона  $7 \cdot 10^{18}$  см<sup>-3</sup>.

Для вымораживания полученного состава смеси использовалось закалочное ус<mark>тройство из меди в виде плоск</mark>ого теневого канала с высотой щели 1-10<sup>-3</sup>, шириной  $20-10^{-3}$  и длиной  $33\cdot10^{-3}$ м. Устройство интенсивно охлаждалось водой (температура стенок 300 K) и обеспечивало среднюю скорость охлаждения газа  $2 \cdot 10^{8}$  град/с при времени пребывания  $\phi_{\text{рек}} \approx 5 \cdot 10^{-4}$  с. Несложный анализ характерных времен показывает, что при газодинамическом масштабе времени t<sub>\*</sub>≈  $5.10^{-4}$  с и времени химической релаксаци<mark>и</mark>  $\phi_{\text{pek}} \ge 5.10^{-4}$  с (для присадки йода <5%) устройство, соглосно ус<mark>ловию</mark> « $\phi_v t_{np} \sim t_* \le \phi_{pek}$ , обеспечивало з<mark>а</mark>мор<mark>ажи</mark>вание рекомб<mark>ина</mark>ци<mark>и</mark> йода при равновесном состоянии колебательного энергообмена.

Оптический канал представлял собой стальную водоохлаждаемую кювету диаметром 25  $\cdot$  10<sup>-3</sup> и длиной 270  $\cdot$  10<sup>3</sup> мс кварцевыми окнами по торцам; поток в канал поступал через расположенный посередине кюветы тангенциальный короткий щелевой патрубок. Кювета беспечивала, с одной стороны, получение хорошего заполнения просвета излучением и достаточную длину оптического пути, с другой - достаточную скорость прокачки среды, хотя при этом имели место определенные газодинамические неоднородности, вызванные закруткой потока. Температура газа в кювете составляла 750 - 500 К при давлении 1,05 · 10<sup>5</sup> Па. Таким образом, при плотности аргоновой среды  $1 ext{ ч 2} \cdot 10^{19} \text{ см}^{-3}$  концентрация свободных атомов йода  $3 ext{ ч 5} ext{ } 10^{10} \text{ см}^{-3}$  была существенно неравновесной. Для утилизации смеси использовалась ионообменная смола и медная стружка.

Обнаруженный эффект заключается в следующем. При истечении через закалочное <mark>уст</mark>рой<mark>ст</mark>во чистого аргона (<mark>без</mark> присадк<mark>и</mark>) поток виз<mark>уаль</mark>но был прозрач<mark>н</mark>ым. <mark>Ч</mark>ерез <mark>неск</mark>олько секу<mark>н</mark>д при вводе йода в оптическом канале зеленое свечение, кольцеобразно заполнявшее поперечное сечение по всей длине кюветы. После прекращения подачи йода (порции хватало на 5 мин.) по мере выгорания присадки, сконденсировавшейся на холодных стенках, свечение в течение минуты исчезало. Без закалочного устройства при истечении смеси  $I_2$  /Ar из смесительной камеры в оптический канал свечение не наблюдалось.



Puc.2. Микрофотограмма спектра -  $I_2$  /Ar в области 500-550 ·пм (давление 1,05·10 $^5$  Па, температура 750-450 K) 1

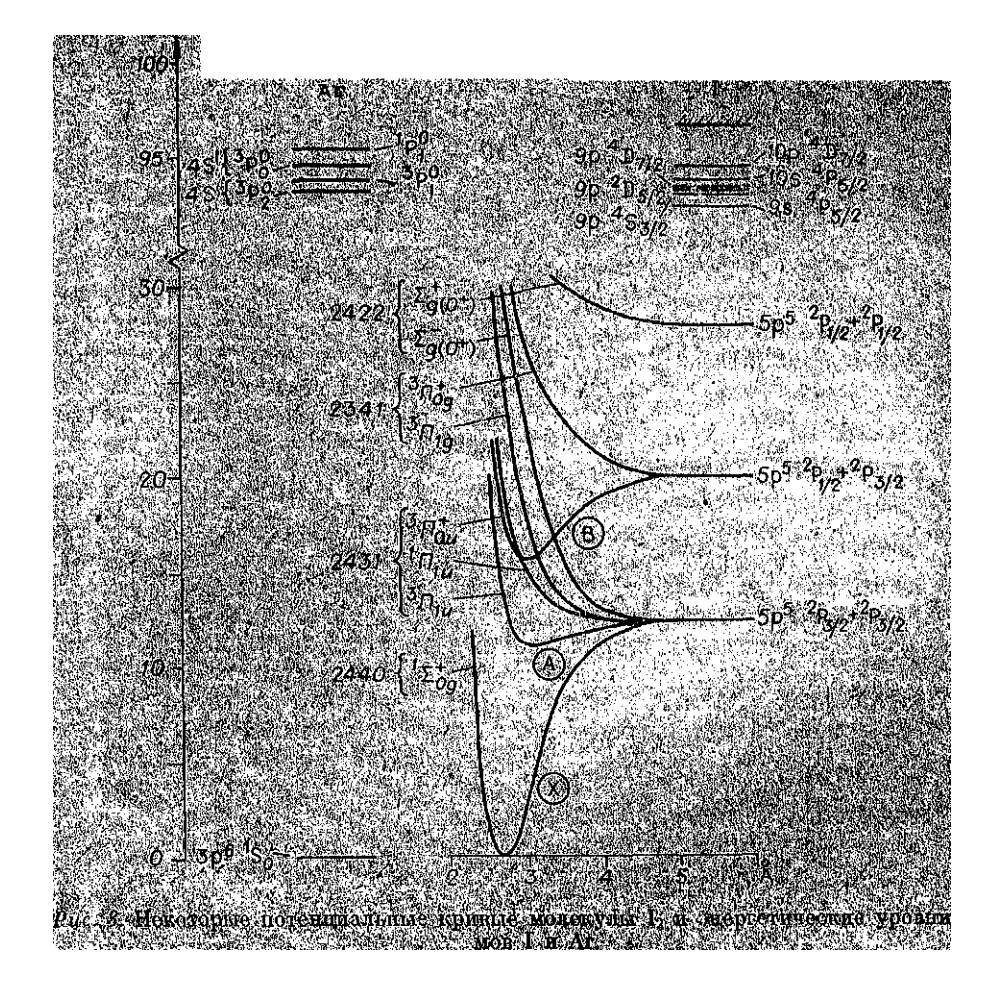
1-5150 E; 2-5195 E; 3 - 5250 E; 4-5305 E; 5 - 5360 E; 6 - 5420 E;

Для регистрации спектра использовался спектрограф ИСП — 51 с камерой F-270, съемка велась на пленку типа РФ-3 и «изопанхром» - 500 Спектр излучения имел дискретную структуру в виде молекулярных полос с длинноволновым оттенением. На рис. 2 приведена типичная микрофотограмма спектра для участка длин волн 500—550 нм (частоты измерены с помощью компаратора, грубо в максимуме интенсивности каждой полосы).

По нашему мнению, спектр принадлежит системе  $B \to X$  молекулы  $\mathring{\mathbf{H}}_2$  и имеет рекомбинационное происхождение. Действительно, стабильный режим работы электродов плазмотрона, техническая частота рабочей и надежность уплотнений газового трактата практически исключают возможность высвечивания каких-либо примесей типа CuI, WI, CuO, WO и т.д. (для проверки спектр излучения паров CuI специально исследовался). Что касается возможности образования эксимеров в результате сложного механизма «гарпунных» реакций и реакций рекомбинации, то молекулы ArI должны высвечивать, согласно [8], УФ-области, а трехатомные эксимеры Ar<sub>2</sub>I (в литературе о них пока не сообщалось) хотя и могут в принципе, по оценкам, излучать в видимой области и иметь эффективное время жизни ~10-6 с, однако должны обладать широким спектром люминесценции, характерным для связанно-свободных переходов. В данных же опытах спектр ниже 500 нм не наблюдался. Таким образом кроме молекул  $\ddot{\mathbf{H}}_2$ , другой источник, ответственный за зеленое свечение, представить трудно, да и по своей структуре и диапазону частот полученый спектр весьма сходен с известным спектром В  $\to X$  -хемилюминесценции йода в рабо<mark>т</mark>е [5].

Из анализа имеющихся в распоряжении потенциальных кривых йода (рис.3), спектроскопических констант [10, 11] и факторов Франка - Кондона [12] следует, что наблюдаемому излучению соотвествуют переходы молекулы Й2 с высоковозбужденных колебательных уровнений ( $v \ge 25$ )  $B^3 \Pi_{0+u}$  – состояния на низколежащие колебательные уровни  $(v'' \le 7)$  основного состояния  $\mathbf{q}^1$  У  $_{0+g}$ , причем переходы между уровнями с меньшими квантовыми числами на порядок более вероятны, чем переходы между уровнями с большими квантовыми числами. Так, для полосы максимальной интенсивности вблизи 530 нм (для энергии кванта 18850 см-1 переходы на v"=5-0 с соответствующих v'= 67-32),  $q_{32\to 0}^{v} = 3\cdot 10^{-2}$  против  $q_{67\to 5}^{v}$ =6·10-4. Согласно принципу Франка-Кондона эт о обуслено величиной интеграла перекрытия волновых ш- функций вблизи поворотных точек высоких колебательных уровней. Красное оттенение полос, определяемое, как известно, соотношением вращательных постоянных  $B_{v}' \leq B_{v}''$  ( $B_{v} \sim \langle 1/r^{2} \rangle$ ), косвенно также свидетильствует о том, что переход осуществляется с уровней, близких к диссоционному пределу В-состояния, где велик ангармонизм потенциальной кривой.

В пользу рекомбинационной природы излучения говорит следующее. Тепловое возбуждение молекулярного йода в зоне оптического канала слишком мало (при  $T\!=\!700$  К равновестная заселенность B-состояния



~  $10^9$  см<sup>3</sup>) и не может обеспечить спектральную плотпость излучения, наблюдаемую в эксперименте, оптическая же подсветка дуги плазмотрона не может оказывать влияния на область наблюдения из-за сильного диафрагмирования в щелевом канале и надрубке. Перенос возбужденных молекул  $\dot{\text{И}}_2^*$  из смесительной форкамеры маловероятен, так как эффективное время жизни (излучение + спонтанная предиссоциация) состояния  $\textbf{B}^3$   $\Pi_{0+u}$  для v' = 25 ч 35  $\phi_{3\phi\phi}$  =(1± 0,2) •  $10^{-6}$  с [13] на три порядка меньше времени пребывания в закалочном устройстве. Также маловероятна передача энергии от метастабльных состояний аргона, так как уровни атомарного йода, близкие к уровням возбуждения  $\textbf{Ar}^*$ , имеются только вблизи нонизационного континуума, молекулярный йод резонансных уровней с аргоном вообще не имеет (см. рис. 3).

Таким образом, ответсвенным за возбуждение молекулы  $\ddot{\mathbf{H}}_2^*$  ( $\mathbf{B}^3$   $\Pi_{0+u}$ ) в кювете может быть только рекомбинационный процесс с участием метастабильных атомов  $\mathbf{I}^*$  ( $\mathbf{P}_{1/2}$ ) образовавшихся при радиационно-конвективном нагреве в смесительной форкамере, и невозбужденных атомов  $\ddot{\mathbf{H}}$  ( $\mathbf{P}_{3/2}$ ). Состояние  $\mathbf{B}^3$   $\Pi_{0+u}$  находится в корреляционной связи с этими уровнями тонкой структуры атомарного йода, отстоящими друг от друга на 7600 см<sup>-1</sup>. Согласно [14], в слаботушащей среде ( $k_{\Phi A \Phi} \leq 2 \cdot 10^{18}$  см<sup>3</sup>/с) при плотности частиц  $\sim 10^{18}$  см<sup>-3</sup> время жизни  $\ddot{\mathbf{H}}^* \geq 10^{-3}$  с. Учитывая невысокую скорость спин-орбитальной релаксации на основной ( $\mathbf{P}_{3/2}$ ) —уровень ( $k_{\text{релй}}^* = 4,6 \pm 0,3 \cdot 10^{-17}$  см<sup>3</sup>/с [5] ), можно считать, что за время пребывания в закалочном устройстве концентрация  $\ddot{\mathbf{H}}^*$  сохраняется неизменной.

Из трех основных механизмов — примой фоторекомбинации, рекомбинации через инверсную предиссоциацию и трехчастичной фоторекомбинации — в данных экспериментах вследствие большой плотпости среды преобладает, по-видимому, последний с участием атома Аг в качестве третьего тела для стабилизации квазимолекулы

$$\ddot{\mathbf{H}}^* (^2 \mathbf{P}_{1/2}) + \ddot{\mathbf{H}} (^2 \mathbf{P}_{3/2}) + \mathbf{Ar} \xrightarrow{\mathbf{k}_3} \ddot{\mathbf{H}}^* (\mathbf{B}^3 \Pi_{0+\mathbf{u}}) + \mathbf{Ar}$$

с последующим высвечиванием

$$I_{2}^{*}(B^{3}\Pi_{0+u}) \xrightarrow{1/\tau_{pag}} I_{2}(X^{1}\sum_{0+g}) + hh.$$

Что касается имеющего не меньшую по порядку величины вероятность механизма заселения В-состояния через пересекающие отталкивательные термы  $^{1}P_{1u}$ ,  $^{3}P_{1g}$ , и другие, коррелигующие с невозбужденными атомами I ( $^{2}P_{3/2}$ ), то кинетическая энергия частиц для этого в настоящих опыт была недостаточно велика. Следует отметить, что протекание излучательного процесса существенно зависит от эффективности работы закалочного устройства. При повышенных расходах йода (>5%) щелевой канал не обеспечивает замораживания исходной концентрации свободных атомов, и процесс осложняется побочными явлениями:

1) ускоренной химической релаксацией в основное состояние  $I_2(k_{pex}=(1,3\pm0,5)\cdot 10^{-29}/T^{-1,3}$  см $^6$ /с [15]; 2) сильным тушением возбужденных состояний в столкновениях с невозбужденными молекулами и атомами йода (для  $\Breve{H}^*_2$  при T=500 К  $k_{Ti2}=(3,4\pm0,3)\cdot 10^{-10}$  см $^3$ /с [16] и  $k_{Ti}(3,0\pm1,1)\cdot 10^{-10}$  см $^3$ /с [17], для  $\Breve{H}^*$  при T=500 К, согласно [18],  $k_{Ti}\approx 5\cdot 10^{-12}$  см $^3$ /с); 3) реабсобцией излучения (сечение поглощения в области 530 нм при T=500 К равно 0,8  $\cdot 10^{18}$ ) [19]. Свечения в этих условиях не наблюдалось.

Итак, есть все основания сделать вывод, что в результате резкого неадиабатического охлаждения термически возбужденной смеси  $\ddot{\mathrm{H}}_2/\mathrm{Ar}$  в процессе транзвукового истечения через закалочное устройство при атмосферном давлении получено рекомбинационное излучение молекулярного йода в зеленой области спектра. Получение интенсивности этого излучения в потоке высокого давления требует усовершенствования закалочного устройства и более детального изучения кинетики физико-химических и оптических процессов.

Поступила в <mark>р</mark>едакцию <mark>17/X1</mark>1981

```
1. А. С. Башкий, В. И. Игошин и др. Химические лазеры М. ВИНИТИ, 1975
2. И. А. Измайлов, В. Кочелап. Квантовая электроника, 1980, 7, 12 2543.
3. R.C. Millikan, D.R. Whits. J. Chem. Phys., 1963, 39, 3209.
4. Е. W. Abrahamson, D. Husain, J.R. Wiesnefeld. Trans. Faradae Soo., 1968, 64, 933.
5. К.Н. Stephan, F.J. Comes, Chem. Phys. Lett., 1979, 65, 2, 251.
6. Л.С. Ершов, В.Ю. Залесский, А.М.Кукушкин. Квантовая электроника, 1975, 2, 8, 1671.
7. R.J. Browne, E.A. Ogryzlo. J. Chem. Phys., 1970, 52, 5774.
8. Electronic Transition Lasers. — Cambridge. Massachusetts, Lond.: МІТ Press, 1076.
9. R.S. Mulliken. J. Chem. Phys., 1971, 55, 288.
10. R.J. LeRoy. J. Chem. Phys., 1970, 52, 2683.
11. J. Telling huisen. J. Chem. Phys., 1973, 58, 2821.
12. К.К. Yee. J. Chem. Soc. Far. Trans. 11, 1976, 72, 2113.
13. G.A. Capelle, H.P.Broida. J. Chem. Phys., 1973, 58, 4212.
14. Т.Л. Андреева, С.В. Кузнецова и др. Химия высоких энергий, 1972. 6, 413.
15. В.Н. Кондратьев. Константы скорости газовых реакций. М.: Наука, 1970.
16. Е.Д.Бугрим, С.Н.Макаренко, И.Л.Цикора. Оптика и спектроскопия, 1077, 43, 3, 424.
17. А.N. Schweid, J.I. Steinfeld. J. Chem. Phys., 1973, 58, 844.
18. R.J. Donovan, D.Husain. Chem. Rev., 1970, 70, 489.
19. P. Sulzer, R. Wieland. Helv. Phys. Acta, 1952, 25, 653.
```

)) Л. С. )<mark>1ршов, 1\$. Ю.</mark> Зале <mark>■ кии. М</mark>. К<mark>укуш</mark>кин. <mark>Кпапюиал иеыр</mark> а<mark>шк</mark>а, 1975, 2, 7 К. І.

Кгсгопс. Г V. Ойгу/10 3 Пит Ркчь , Р>74 52 Г.771

Б ГЛесЧгопи' Т| <тч(юп 1 лч!-, — ( анн >1 с^е Мл->ас Ішье11- Бовсі МІ Г Рю^ 1')/7|
ч К.Й МйШксп І С Би-п РБ^. П, І, 55, 2ь3 Ю К. І.ьеНс». Т СБет РБуь, 1470, 52 2083. 11.
Л. ТсШпцьи Беп І СБет , 1473, 58 2^21. 12 К. К. Усе. І с. Бет Рос Каг І г,т<, П. Р)70, 72
2113 И С. Л. СлреНе, П. Г. ПгоШа. І Съмп 1»Б> , 497Л 58, 1212 14 Т. Л \н сроепа. С. В. Кузнецова л др. Химия высока) гчирши. 1972 6, 41.1 П Н. 11. Коидратьеп. Коис'г,шси скорости внофапплх. ремкцип М.- Наука, 197,» 1(. К. Д. Б л грим, С. И. Макр еньо, (І І Нилр! им', І 1] , ч Г І Р'77 '('.

17 А. N. ЧсЬ\Ю1С1,1.1. 81етГеЫ. / С1с ш РЬуь 107.5, 58, Ш Ь П Оолочли, 0.11ша!п СЬгт 1970 70, 18» 14 Р. 8и1гег. К. \\1e(апс1. Ис>1\ Р ! . - ^ (